

Studi Identifikasi Aluminium Pada Kompleks Batuan Granitis Di Kabupaten Tapin Provinsi Kalimantan Selatan

Study of Aluminum Identification in Granite Rock Complex In Tapin Regency, South Kalimantan Province

Leo Cahyo Adi, Adip Mustofa, Riswan

Program Studi Teknik Pertambangan, Fakultas Teknik, Universitas Lambung Mangkurat

Email : leocahyoadii@gmail.com, adip@ulm.ac.id, riswan@ulm.ac.id

ABSTRAK

Aluminium merupakan salah satu unsur penting bahan baku industry. Ketersediaan Aluminium salah satunya bersumber dari mineral penyusun batuan beku granitis dalam mineral Feldspar. Ketersediaan batuan granitis formasi (Kgr) tertuang pada peta Geologi lembar Amuntai yang disusun oleh (Heryanto, 1994), Kebutuhan Aluminium yang tinggi serta sebaran batuan granitis, menjadi pendorong untuk melaksanakan studi identifikasi Aluminium di daerah tersebut.

Metode penelitian yang digunakan meliputi pengumpulan data dilapangan (Pengambilan titik Sampling, sampel batuan dan deskripsi batuan). Yang mana didapatkan 15 sampling batuan hasil dari megaskopis berupa jenis batuan yaitu *Granodiorite*, *Diorite*, *Andesitis* dan *Granit*. Kemudian dilakukan uji laboratorium, uji laboratorium ditujukan untuk mengetahui kandungan mineral dan kimiawi pada sampel batuan Granitis. Analisa tersebut menggunakan dua alat uji yaitu XRD (*X-Ray Diffractometer*) untuk mengetahui kandungan mineral batuan dan uji XRF (*X-Ray Fluorescence*) untuk mengetahui kandungan unsur kimiawi.

Melalui hasil dari uji laboratorium tersebut dilakukan metoda penamaan jenis batuan menurut klasifikasi diagram *Streicksen 1967* dan metoda penamaan jenis magma menurut klasifikasi *Shand's Index 1951*. Diketahui penamaan jenis batuan hasil dari klasifikasi diagram *Streicksen 1967* didapatkan jenis batuan *Granodiorite*, *Monzogranite* dan *Syenogranite*. Dan hasil dari penamaan jenis magma menurut klasifikasi *Shand's Index 1951* didapatkan jenis magma berupa *Peraluminous* dan *Metaluminous*. Dari hasil uji XRF(*X-Ray Fluorescence*) diketahui batuan granitis hasil sampling mengandung Aluminium berkisar 0,02 – 0,07 %. Peningkatan kandungan aluminium semakin meningkat kearah North East daerah penelitian dengan jenis batuan *Granodiorite* dan *Monzogranite*, jenis magma hasil plotting klasifikasi *Shand Index 1951* berupa *Peraluminous* dan *Metaluminous* mengarah pada Desa Harakit.

Kata-kata kunci: Batuan granitis, Aluminium, General survey

ABSTRACT

Aluminum is one of the important elements of industrial raw materials. Availability of Aluminum, one of which is sourced from minerals that make up granitic igneous rocks in the mineral feldspar. The availability of granitic rock formations (Kgr) as stated on the Geological map of the Amuntai sheet compiled by (Heryanto, 1994), the high demand for aluminum and the distribution of granitic rocks, became the impetus to carry out aluminum identification studies in the area.

*The research method used includes data collection in the field (Sampling point collection, rock samples and rock descriptions). Which obtained 15 rock sampling results from megascopic rock types, namely *Granodiorite*, *Diorite*, *Andesitis* and *Granite*. Then laboratory tests are carried out, laboratory tests are intended to determine the mineral and chemical content of Granitis rock samples. The analysis uses two test equipment, namely XRD (*X-Ray Diffractometer*) to determine the mineral content of rocks and XRF (*X-Ray Fluorescence*) test to determine the content of chemical elements.*

*Through the results of these laboratory tests, the method of naming rock types according to the 1967 Streicksen diagram classification and the magma type naming method according to the Shand's Index 1951 classification was carried out. It is known that the naming of rock types from the 1967 Streicksen diagram classification obtained rock types *Granodiorite*, *Monzogranite* and *Syenogranite*. And the results of the naming of magma types according to the Shand's Index 1951 classification obtained types of magma in the form of *Peraluminous* and *Metaluminous*. From the results of the XRF (*X-Ray Fluorescence*) test, it is known that the granitic rocks sampled contain Aluminum ranging from 0.02 to 0.07%. The increase in aluminum content is increasing towards the North East of the study area with *Granodiorite* and *Monzogranite* rock types, the type of magma from the Shand Index classification plotting 1951 in the form of *Peraluminous* and *Metaluminous* leads to Harakit Village.*

Keywords: Granite rock, Aluminum, General survey

PENDAHULUAN

Dalam buku mineral deposit menurut Bateman (1988), dikatakan bahwa jenis batuan beku memiliki kadar aluminium (Al) rata-rata sebesar 8.13% dimana Aluminium banyak berasosiasi dengan mineral-mineral batuan granitis. Berdasarkan peta geologi Indonesia Lembar Amuntai (Heryanto, 1994), terdapat Formasi Batuan Granitis (Kgr) yang tersebar di Kabupaten Tapin. Potensi Aluminium (Al)

pada sebaran granitis yang ada di daerah tersebut masih belum diketahui.

Untuk memperoleh informasi mengenai potensi Aluminium di daerah tersebut perlu dilakukan penelitian bertahap. Mengingat bahwa belum pernah dilakukan penelitian terhadap batuan granitis tersebut, maka penelitian terhadap batuan granitis dipandang perlu dilakukan sebagai tahap awal untuk mendukung eksplorasi

lanjut. Judul penelitian adalah “Studi Identifikasi Aluminium Pada Kompleks Batuan Granitis Di Kabupaten Tapin Provinsi Kalimantan Selatan” untuk mengetahui gambaran awal karakteristik Aluminium (Al) pada batuan granitis daerah penelitian.

METODOLOGI

Studi Literatur

Studi literature dilakukan untuk mengumpulkan informasi untuk dasar dari penelitian seperti pengumpulan buku, hipotesis penelitian terdahulu, jurnal yang berkaitan dengan penelitian, serta perumusan masalah yang akan dibahas di dalam penelitian.

Pengumpulan Data

Dalam melakukan penelitian diperlukan teknik pengumpulan data.

a. Pengumpulan Data Sekunder

Data singkapan kompleks batuan granitis, mineralogi batuan granitis dan kimiawi batuan granitis, sebagai data rencana untuk mengetahui penamaan jenis batuan menggunakan klasifikasi diagram streicksen 1967, dan mengetahui jenis Magma menggunakan klasifikasi Shand 1951. Serta karakteristik sebaran unsur Aluminium (Al) pada batuan granitis.

b. Pengumpulan Data Primer

1) Penjajuan langsung di lapangan

- Plotting lokasi pengambilan sampel batuan granitis
- Melakukan sampling batuan granitis
- Mencatat keadaan daerah pengambilan sampling

2) Preparasi batuan granitis

Preparasi sampel yaitu membuat sampel batuan menjadi ukuran kecil dan butiran sesuai dengan pengujian laboratorium Analisa XRF (*X-Ray Fluoresensi*) dan Analisan XRD (*X-Ray Diffraction*).

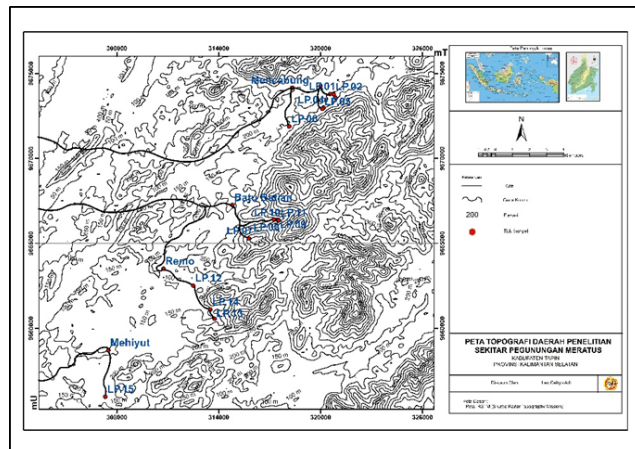
Proses Pengolahan Data

Data yang telah dikumpulkan digunakan untuk mengidentifikasi batuan dan jenis magma yang ada diwilayah penelitian. Adapun data diolah untuk mengetahui penamaan jenis batuan menggunakan klasifikasi *streicksen 1967*, dan mengetahui Jenis Magma menggunakan klasifikasi *Shand's Index 1951*. Mengetahui kandungan unsur aluminium yang terdapat di dalam sampel batuan yang diujikan dan dapat membuat peta karakteristik sebaran unsur Aluminium (Al).

HASIL PENELITIAN

Topografi

Topografi merupakan penggambaran bentuk permukaan bumi mencakup bentuk informasi berupa gunung, sungai, jalan dll. Hasil studi literatur dilapangan yang telah dilakukan, topografi merupakan daerah perbukitan bergelombang dengan ketinggian tempat berkisar ± 50 mdpl sampai dengan ± 700 m diatas permukaan air laut, dengan sebaran bukit dari Barat Daya cukup renggang kerapatannya dibandingkan dengan sebaran bukit kearah Timur Laut kerapatan bukitnya cukup rapat sehingga membentuk jajaran bukit, daerah regional. Kondisi topografi sekitar dapat dilihat pada gambar berikut gambar 1 dan gambar 2 kondisi topografi sekitar.



Gambar 1
Peta Topografi Regional Daerah Penelitian



Gambar 2
Topografi Perbukitan Daerah Penelitian

Geologi Regional

Batuhan yang teramat pada kompleks batuan granitis adalah batuan granitis dengan sisipan batuan andesitis sampai basaltis dilapangan hasil pengamatan megaskopis, menggunakan klasifikasi menurut Shand 1951 jenis magma granitis yang berkembang adalah jenis magma mulai dari Peraluminous dan Metaluminous.

Untuk stratigrafi berdasarkan hasil pemetaan geologi regional yang dilakukan oleh R.Heryanto dan P. Sanyoto pada tahun 1994 dari pusat Penelitian dan Pengembangan Geologi (P3G) terdapat formasi batuan yang beraneka ragam terbentuk mulai dari zaman Jura hingga zaman Kuarter, menurut R.heryanto dan P. Sanyoto pada tahun 1994 granit regional daerah penelitian terbentuk pada masa Mesozoikum di zaman Kapur sebagai batuan terobosan, Informasi ini dapat dilihat dalam bentuk korelasi satuan peta geologi regional daerah penelitian pada gambar 4 dan geologi regional daerah penelitian pada gambar 3.

Hasil Uji Laboratorium

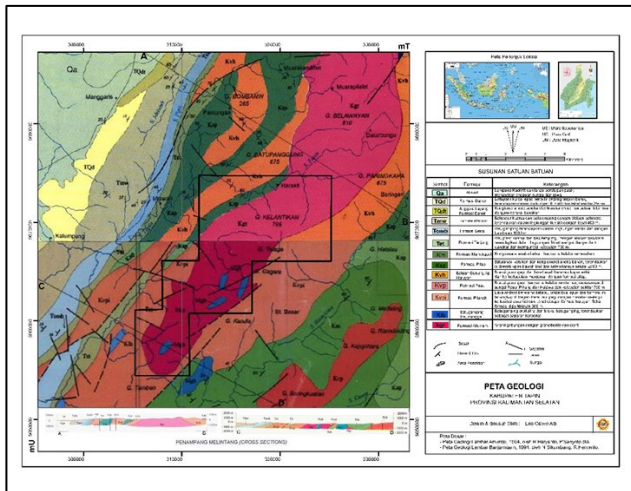
Pengolahan data dilakukan menggunakan data yang berasal dari hasil uji laboratorium pengujian sampel menggunakan dua alat uji yaitu alat uji XRD (*X-Ray Difractometer*) yang didapatkan berupa kandungan mineral nya dan pengujian sampel menggunakan alat uji XRF (*X-Ray Fluorescence*) yang didapatkan berupa kandungan kimiawi.

Berikut adalah hasil uji laboratorium analisa XRD pada tabel 1 dan XRF pada tabel 2

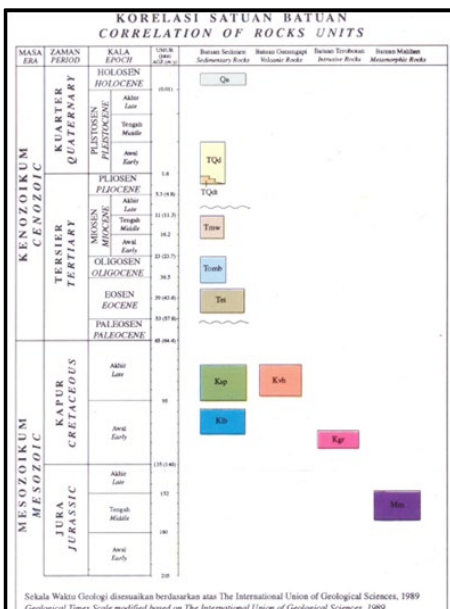
Identifikasi Jenis Batuan Menurut Klasifikasi Streicksen 1967

Penamaan jenis batuan menggunakan diagram Streicksen 1967, data yang diperlukan yaitu hasil uji analisa XRD (*X-Ray Diffractometer*) menggunakan 3 mineral utama yang terdapat pada batuan, yaitu Q (Quartz), P

(Plagioclase), A (Alkali feldspar). Diawali dengan pengelompokan mineral Q,P dan A penamaan jenis batuan (Streicksen, 1967) dapat dilakukan sebagai terlihat di tabel 3. Kehadiran grup mineral yaitu Quartz, Plagioclase, dan Alkali Feldspar selanjutnya, diplotingkan kedalam diagram Streicksen untuk menemukan jenis batuannya. Hasil plotting dapat dilihat pada gambar 5.



Gambar 3
Peta Geologi Regional Daerah Penelitian



Gambar 4
Korelasi Satuan Batuan

Tabel 1
Data Kandungan Mineral Hasil Uji XRD

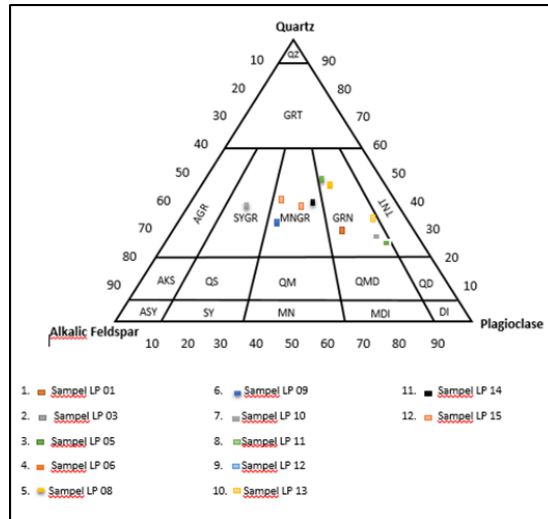
Kode Sampel	Ref Code	Scale Factor	Score	Compound Name	Chemical Formula
2/HRKT-S-DAMAR-PIANI/2017	98-006-6137	0.262	17	Eucryptite gamma	Al1Li1O4Si1
2/HRKT-S-DAMAR-PIANI/2017	98-007-7423	0.634	33	Albite low	Al1Na1O8Si3
2/HRKT-S-DAMAR-PIANI/2017	98-008-6138	0.517	16	Anorthite	Al2Ca1O5Si2
3/HRKT-S-DAMAR-PIANI/2017	98-007-7423	0.545	38	Albite low	Al1Na1O8Si3
3/HRKT-S-DAMAR-PIANI/2017	98-007-7423	0.572	26	Albite low	Al1Li1O4Si1
3/HRKT-S-DAMAR-PIANI/2017	98-007-7423	0.572	7	Sodic-anorthite	Al1Na1O8Si3
3/HRKT-S-DAMAR-PIANI/2017	98-006-6137	0.147	10	Eucryptite gamma	Al1Li1O4Si1
3/HRKT-S-DAMAR-PIANI/2017	98-015-8752	0.260	24	Corundrite	Al1Mg2O18Si5
5/HRKT-S-ARAWIH-PIANI/2017	98-007-7423	0.572	26	Albite low	Al1Li1O4Si1
5/HRKT-S-ARAWIH-PIANI/2017	98-006-6137	0.106	7	Sodic-anorthite	Al1Na1O8Si3
6/MCB-S-RINI-PIANI/2017	98-006-3168	0.502	25	Albite intermediate	Al1Na1O8Si3
6/MCB-S-RINI-PIANI/2017	98-008-2457	0.100	7	Potassium lithium phyllo-silicate	K1Li1O5Si2
6/MCB-S-RINI-PIANI/2017	98-023-1405	0.155	15	Edenite	Na2CaMg3Al7O22(OH)2
6/MCB-S-RINI-PIANI/2017	98-010-0393	0.369	37	Albite, disordered	Na1Si3Al1O8
8/BTBN-S-TELAGA-S-PINANG/2017	00-041-1480	0.403	31	Albite, calcian, ordered	[Na, Ca] Al1Si1Al13O8
8/BTBN-S-TELAGA-S-PINANG/2017	00-078-1254	0.468	35	Silicon oxide - δ -alpha	Si O2
8/BTBN-S-TELAGA-S-PINANG/2017	00-022-0027	0.069	21	Lithium Aluminum Oxide	Li Al O2
9/BTBN-S-TELAGA-S-PINANG/2017	00-037-0860	0.357	35	Lithium Potassium Sulfate	Li K5O4
9/BTBN-S-TELAGA-S-PINANG/2017	00-038-2466	0.306	42	Albite, calcian, disordered, syn	[Na, Ca] Si1 Al14O8
9/BTBN-S-TELAGA-S-PINANG/2017	00-078-1254	0.253	44	Albite, calcian, ordered	Na1Al1Si1O8
9/BTBN-S-TELAGA-S-PINANG/2017	00-083-2466	0.723	58	Silicon oxide - τ -beta	Si O2
10/BTBN-S-TELAGA-S-PINANG/2017	00-041-1481	0.319	40	Andesite, sodian, disordered	[Ca, Na] Si1 Al14O8
10/BTBN-S-TELAGA-S-PINANG/2017	00-074-0933	0.357	25	Sodium tektite-aluminosilicate	Na1Al1Si3O8
10/BTBN-S-TELAGA-S-PINANG/2017	00-047-0027	0.289	29	SGG-eucryptite	Li Al Si O4
10/BTBN-S-TELAGA-S-PINANG/2017	00-078-1254	0.773	43	Silicon oxide - δ -alpha	Si O2
11/BTBN-S-TELAGA-S-PINANG/2017	00-083-1372	0.432	27	Calcium sodium aluminosilicate	Ca0.68 Na0.30 Al1.65 Si2.34 O8
11/BTBN-S-TELAGA-S-PINANG/2017	00-085-1454	0.183	11	Fern-eckermannite lithian	[Na, K] (Na, Ca)2(Mg, Fe, Li) Al1Si8O22(O, H)2
12/REMO-S-PANTIKAN-PIANI/2017	00-022-0407	0.066	23	Lithium Aluminum Oxide	Li Al O2
12/REMO-S-PANTIKAN-PIANI/2017	00-085-0865	0.418	45	Silicon oxide - δ -alpha	Si O2
12/REMO-S-PANTIKAN-PIANI/2017	00-041-1480	0.580	53	Albite, calcian, ordered	[Na, Ca] Al1Si1Al13O8
12/REMO-S-PANTIKAN-PIANI/2017	00-083-1366	0.403	56	Silicon oxide - τ -beta	Si O2
13/REMO-S-PANTIKAN-PIANI/2017	00-048-1386	0.177	32	Calcium sodium aluminosilicate	Ca0.65 Na0.35 Al1.65 Si2.35 O8
13/REMO-S-PANTIKAN-PIANI/2017	00-047-1359	0.083	37	Leakeite	Na3Mg2Fe2Li1Si8O22(O, H)2
14/REMO-S-PANTIKAN-PIANI/2017	00-039-0475	0.068	20	Peliteite	Li Al Si4O10
14/REMO-S-PANTIKAN-PIANI/2017	00-083-2466	0.918	49	Silicon oxide - τ -beta	Si O2
14/REMO-S-PANTIKAN-PIANI/2017	00-041-1480	0.661	43	Albite, calcian, ordered	[Na, Ca] Al1Si1Al13O8
14/REMO-S-PANTIKAN-PIANI/2017	00-073-0292	0.097	13	Lithium aluminosilicate - δ -beta	Li Al O2
14/REMO-S-PANTIKAN-PIANI/2017	00-085-1429	0.171	10	Leakeite	Na3(Mg2Fe2Li1) Si8O22(O, H)
14/REMO-S-PANTIKAN-PIANI/2017	00-078-1254	0.661	54	Silicon oxide - δ -alpha	Si O2
15/MAHYUT-S-ANTUH-BANJAR/2017	00-075-0865	0.082	14	Lithium aluminum oxide - γ -gamma	Li1O2
15/MAHYUT-S-ANTUH-BANJAR/2017	00-083-1454	0.049	11	Fern-eckermannite lithian	[Na, K] (Na, Ca)2(Mg, Fe, Li) Al1Si8O22(O, H)2

Tabel 2
Data Kandungan Kimia Hasil Uji XRF

No	Kode Sampel	Komposisi (ppm)						
		Al	Ca	Fe	K	Li	Mg	Na
1	1/HRKT-S-DAMAR-PIANI/2017	609,6	639,6	1645,9	39,8	0,1	318,5	63,0
2	3/HRKT-S-DAMAR-PIANI/2017	658,0	622,6	1818,8	56,0	2,1	477,7	93,8
3	5/HRKT-S-ARAWIH-PIANI/2017	709,2	725,7	1470,7	55,3	0,3	375,6	58,9
4	6/MCB-S-RINI-PIANI/2017	923,4	816,6	2281,5	69,9	0,7	531,1	107,5
5	8/BTBN-S-TELAGA-S-PINANG/2017	710,9	557,2	1942,4	75,1	0,5	490,0	64,0
6	9/BTBN-S-TELAGA-S-PINANG/2017	678,3	492,5	2057,4	77,0	0,9	611,8	90,4
7	10/BTBN-S-TELAGA-S-PINANG/2017	447,3	592,8	1459,9	24,3	0,2	124,7	72,4
8	11/BTBN-S-TELAGA-S-PINANG/2017	345,0	349,3	1490,2	20,4	0,8	244,0	109,2
9	12/REMO-S-PANTIKAN-PIANI/2017	579,2	629,3	1256,0	42,5	0,3	287,9	93,2
10	13/REMO-S-PANTIKAN-PIANI/2017	527,9	438,9	1299,9	43,9	1,0	335,3	97,3
11	14/REMO-S-PANTIKAN-PIANI/2017	558,0	352,8	1579,0	34,2	0,3	306,1	85,5
12	15/MAHYUT-S-ANTUH-BANJAR/2017	360,9	211,3	1026,3	28,2	1,0	298,1	132,0
13	11/BTBN-S-TELAGA-S-PINANG/2017	656,8	617,7	1480,7	31,8	0,4	330,7	116,5
14	9/REMO-S-PANTIKAN-PIANI/2017	617,0	625,4	1515,1	38,0	1,4	347,0	27839447,8
15	10/BTBN-S-TELAGA-S-PINANG/2017	272,2	333,8	1265,0	19,4	0,1	120,7	78,0
16	11/REMO-S-PANTIKAN-PIANI/2017	258,4	289,1	1227,3	26,5	0,9	135,0	111,5
17	12/REMO-S-PANTIKAN-PIANI/2017	189,4	212,9	793,0	12,9	0,0	80,7	74,9
18	13/REMO-S-PANTIKAN-PIANI/2017	217,3	261,1	924,7	19,1	0,5	96,6	91,0
19	14/REMO-S-PANTIKAN-PIANI/2017	437,5	385,9	1336,0	35,2	0,3	310,3	45,8
20	15/MAHYUT-S-ANTUH-BANJAR/2017	413,2	459,2	1268,9	37,7	0,5	301,0	545,6
21	12/REMO-S-PANTIKAN-PIANI/2017	231,5	334,6	483,0	10,0	0,0	68,3	43,5
22	13/REMO-S-PANTIKAN-PIANI/2017	241,7	454,4	526,1	16,6	0,5	78,6	539,9

Tabel 3
Pengelompokan Mineral Q,P,A

No. Sampel	Hasil Analisa XRD				Prozen Q,P,A		
	Q (%)	P (%)	A (%)	Q (%)	P (%)	A (%)	Q x 100% / (Q+P+A)
1/HRKT-S-DAMAR-PIANI/2017	15	53		10	27	56	17
2/HRKT-S-DAMAR-PIANI/2017	12	56		4	23	69	8
3/HRKT-S-ARAWIH-PIANI/2017	10	26		4	25	65	10
6/MCB-S-RINI-PIANI/2017	26	25		45	40	45	8
8/BTBN-S-TELAGA-S-PINANG/2017	35	37		12	40	44	29
9/BTBN-S-TELAGA-S-PINANG/2017	41	42		25	39	44	36
10/BTBN-S-TELAGA-S-PINANG/2017	59	40		27	47	32	38
11/BTBN-S-TELAGA-S-PINANG/2017	43	30		10	52	36	15
12/REMO-S-PANTIKAN-PIANI/2017	45	53		41	35	56	13
13/REMO-S-PANTIKAN-PIANI/2017	56	35		28	41	29	55
14/REMO-S-PANTIKAN-PIANI/2017	49	43		8	46	45	16
15/MAHYUT-S-ANTUH-BANJAR/2017	54	49		25	45	30	14



Gambar 5

Plotting Mineral pada Diagram Streicksen

Berdasarkan hasil plotting Diagram Streicksen, 1967 dapat diketahui jenis batuannya. Jenis batuan yang didapat mempunyai kode penamaan, antara lain SYGR (*Syenogranite*), MNGR (*Monzogranite*), GRN (*Granodiorite*), sebagaimana dapat dilihat pada tabel 4 di bawah ini.

Dari 12 sampel yang diidentifikasi, didapatkan tujuh buah sampel yang berjenis Granodiorite, empat buah sampel yang berjenis Monzogranite dan satu buah sampel yang berjenis Syenogranite.

Identifikasi Jenis Magma

Sampel batuan yang telah dikarakterisasi dengan alat uji XRF (*X-Ray Fluoresensi*) akan diketahui kandungan senyawa kimianya. Senyawa kimia batuan tersebut dapat digunakan untuk menentukan jenis magma. Identifikasi jenis magma yang digunakan yaitu klasifikasi menurut Shand's Index dimodifikasi maniar dan Picolli (1989). Shand (1951) mengklasifikasikan jenis magma berdasarkan parameter utama yaitu Al_2O_3 , CaO , Na_2O dan K_2O . Jenis magma yang dihasilkan menjadi tiga, yaitu Peraluminous, Metaluminous dan Peralkaline. Kandungan Al_2O_3 , K_2O , Na_2O dan CaO dapat dilihat pada tabel 5.

Data komponen pada tabel 5 selanjutnya diplotting-kan kedalam chart shand (1951). Hasil plotting tersebut dapat dilihat pada gambar 6 didapatkan jenis magma untuk setiap sampel. Dari dua belas yang diidentifikasi, diketahui tiga sampel berjenis Peraluminous, dan sembilan sampel berjenis Metaluminous.

Identifikasi Aluminium Pada Batuan Granitis

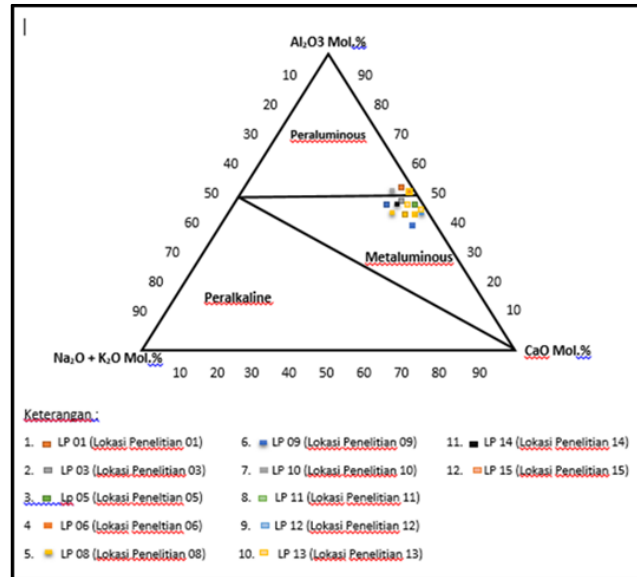
Keterdapatannya Alumunium pada batuan granitis didapatkan dari hasil uji alat XRF (*X-Ray Fluorescence*) yang mana didapatkan kandungan unsur kimiawi Al yang ada pada sampel batuan, terutama kandungan unsur Aluminium. Kandungan unsur Aluminium dari hasil uji XRF dalam bentuk satuan ppm dapat dilihat pada tabel 6.

Tabel 4
Hasil Plotting Penamaan Jenis Batuan Streicksen, 1967

No	No. Sample	Kelompok Batuan	Diagram Hasil Plotting	Jenis Batuan
1	1/HRK-T-S.DAMAR-PIANI/2017	GRN	GRN	Granodiorite
2	2/HRK-T-S.DAMAR-PIANI/2017	GRN	GRN	Granodiorite
3	3/HRK-T-S.ARASHI-PIANI/2017	GRN	GRN	Granodiorite
4	4/MCB-S.RINI-PIANI/2017	GRN	GRN	Granodiorite
5	5/BTBTN-S.TELAGA-S.PINANG/2017	GRN	GRN	Granodiorite
6	6/BTBTN-S.TELAGA-S.PINANG/2017	MNGR	MNGR	Monzogranite
7	7/BTBTN-S.TELAGA-S.PINANG/2017	SYGR	SYGR	Syenogranite
8	8/BTBTN-S.TELAGA-S.PINANG/2017	GRN	GRN	Granodiorite
9	9/REMO-S.PANTIKAN-PIANI/2017	GRN	GRN	Granodiorite
10	10/REMO-S.PANTIKAN-PIANI/2017	MNGR	MNGR	Monzogranite
11	11/REMO-S.PANTIKAN-PIANI/2017	MNGR	MNGR	Monzogranite
12	12/MAHYUT-S.ANTUH-BANJAR/2017	MNGR	MNGR	Monzogranite

Tabel 5
kandungan Al_2O_3 , K_2O , Na_2O dan CaO

No	Kode Sampel	Lokasi Sampel	Mol Al_2O_3	Mol $\text{K}_2\text{O} + \text{Mol Na}_2\text{O}$	CaO	Jenis Magma
1	1/HRK-T-S.DAMAR-PIANI/2017	Desa Harakit	2,71	13,43	1,79	Peraluminous
2	2/HRK-T-S.DAMAR-PIANI/2017	Desa Harakit	3,48	19,91	2,98	Peraluminous
3	3/HRK-T-S.ARASHI-PIANI/2017	Desa Harakit	3,48	26,65	1,79	Metaluminous
4	4/MCB-S.RINI-PIANI/2017	Desa Mengabung	1,93	6,94	2,38	Peraluminous
5	5/BTBTN-S.TELAGA-S.PINANG/2017	Desa Batubahan	1,16	3,45	0,59	Metaluminous
6	6/BTBTN-S.TELAGA-S.PINANG/2017	Desa Batubahan	2,71	13,58	1,79	Metaluminous
7	7/BTBTN-S.TELAGA-S.PINANG/2017	Desa Batubahan	2,71	23,16	1,19	Metaluminous
8	8/BTBTN-S.TELAGA-S.PINANG/2017	Desa Batubahan	3,09	10,4	1,79	Metaluminous
9	9/REMO-S.PANTIKAN-PIANI/2017	Desa Remo	1,16	3,45	1,19	Metaluminous
10	10/REMO-S.PANTIKAN-PIANI/2017	Desa Remo	0,77	3,45	0,59	Metaluminous
11	11/REMO-S.PANTIKAN-PIANI/2017	Desa Remo	1,93	10,18	1,19	Metaluminous
12	12/MAHYUT-S.ANTUH-BANJAR/2017	Desa Mahyut	0,77	3,27	1,19	Metaluminous



Gambar 6
Hasil Ploting Jenis Magma Pada Shand (1951)

Tabel 6
Kandungan Aluminium Hasil Uji XRF Satuan ppm

No	Kode Sampel	Komposisi (ppm)							
		Al	Ca	Fe	K	U	Mg	Na	Si
1	1/HRK-T-S.DAMAR-PIANI/2017	609,6	639,6	1645,9	39,8	0,1	318,5	63,0	86,2
		658,0	622,6	1818,8	56,0	2,1	477,7	93,8	40,2
2	2/HRK-T-S.DAMAR-PIANI/2017	709,2	725,7	1470,7	55,3	0,3	375,6	58,9	82,3
		923,4	816,6	2281,5	69,9	0,7	531,1	107,5	23,1
3	3/HRK-T-S.ARASHI-PIANI/2017	710,9	557,2	1942,4	75,1	0,5	490,0	64,0	22,2
		678,1	492,5	2057,4	77,0	0,9	611,8	90,4	123,6
4	4/MCB-S.RINI-PIANI/2017	447,3	592,8	1459,9	24,3	0,2	124,7	72,4	43,1
		488,6	475,2	1699,9	32,5	1,0	145,8	93,5	28,7
5	5/BTBTN-S.TELAGA-S.PINANG/2017	297,9	297,1	1041,1	13,0	0,1	175,8	73,5	18,0
		345,0	349,3	1490,2	20,4	0,8	244,0	109,2	27,0
6	6/BTBTN-S.TELAGA-S.PINANG/2017	579,2	629,3	1256,0	42,5	0,3	287,9	93,2	19,6
		527,9	438,9	1299,9	43,9	1,0	335,3	97,3	48,3
7	7/BTBTN-S.TELAGA-S.PINANG/2017	558,0	352,8	1579,0	34,2	0,3	306,1	85,5	23,1
		360,9	213,3	1026,3	28,2	1,0	298,1	132,0	33,7
8	8/BTBTN-S.TELAGA-S.PINANG/2017	656,8	617,7	1480,7	31,8	0,4	330,7	116,5	53,5
		617,0	625,4	1551,5	38,0	1,4	347,0	278,39447,8	31,4
9	9/REMO-S.PANTIKAN-PIANI/2017	272,2	333,8	1265,0	19,4	0,1	120,7	78,0	27,3
		258,4	289,1	1227,3	26,5	0,9	135,0	111,5	27,2
10	10/REMO-S.PANTIKAN-PIANI/2017	189,4	212,9	793,0	12,9	0,0	80,7	74,9	28,5
		217,3	261,1	924,7	19,1	0,5	96,6	91,0	11,3
11	11/REMO-S.PANTIKAN-PIANI/2017	437,5	385,9	1336,0	35,2	0,3	310,3	71,2	45,8
		413,2	459,2	1268,9	37,7	0,5	301,0	545,6	4,1
12	12/MAHYUT-S.ANTUH-BANJAR/2017	231,5	334,6	483,0	10,0	0,0	68,3	43,5	84,1
		241,7	454,4	526,1	16,6	0,5	78,6	539,9	52,5

Pada hasil pengujian laboratorium kandungan aluminium didapatkan dalam bentuk satuan ppm. Maka perlu dikonversi dalam satuan (%).

Perhitungan nilai ppm ke % dengan menggunakan rumus:

$$\frac{\text{PPM}}{10000}$$

Hasil perhitungan (%) kandungan Al jenis batuan menurut Klasifikasi Streicksen dapat dilihat pada tabel 7 sampai tabel 9. Peta Sebaran Aluminium (Al%) dan Jenis Magma Pada Kompleks Batuan Granitis dapat dilihat pada gambar 7 dan karakteristik grafik batang kandungan Aluminium pada sampel batuan dapat dilihat pada grafik 1.

Tabel 7
Keterdapatannya Alumunium (% Al) dalam Batuan Granodiorite

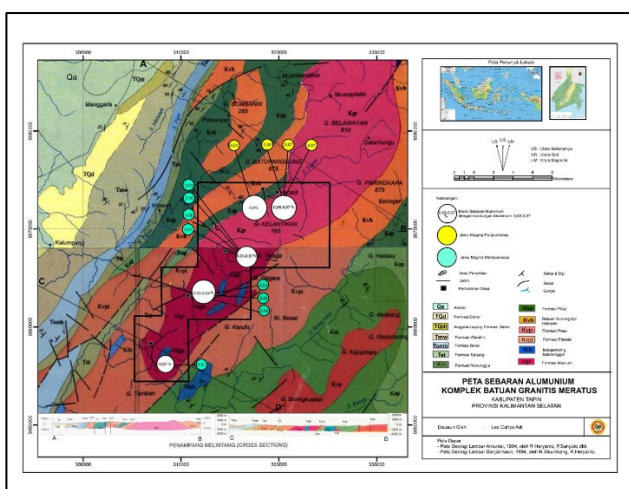
Granodiorite		
No	Kode Sampel Lokasi	Kandungan Al (%)
1	1/HRKT-S.DAMAR-PIANI/2017	0,06
2	3/HRKT-S.DAMAR-PIANI/2017	0,07
3	5/HRKT-S.ARRAWIH-PIANI/2017	0,07
4	6/MCB-S.RINI-PIANI/2017	0,04
5	8/BTBTN-S.TELAGA-S.PINANG/2017	0,03
6	11/BTBTN-S.TELAGA-S.PINANG/2017	0,07
7	12/REMO-S.PANTIKAN-PIANI/2017	0,03

Tabel 8
Keterdapatannya Alumunium (% Al) dalam Batuan Syenogranite

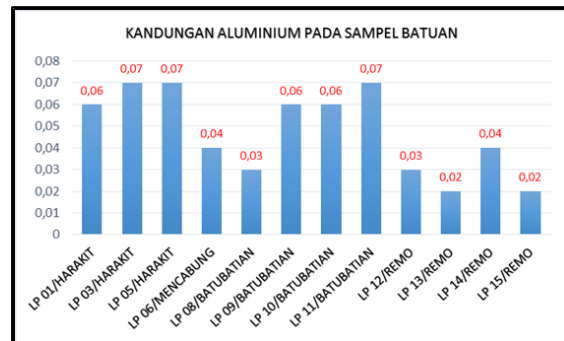
Syenogranite		
No	Kode Sampel Lokasi	Kandungan Al (%)
1	10/BTBTN-S.TELAGA-S.PINANG/2017	0,06

Tabel 9
Keterdapatannya Aluminium (% Al) dalam Batuan Monzogranite

Monzogranite		
No	Kode Sampel dan Lokasi	Kandungan Al (%)
1	9/BTBTN-S.TELAGA-S.PINANG/2017	0,06
2	13/REMO-S.PANTIKAN-PIANI/2017	0,02
3	14/REMO-S.PANTIKAN-PIANI/2017	0,04
4	15/MAHIYUT-S.ANTUH-BANJAR/2017	0,02



Gambar 7
Peta Sebaran Aluminium (Al%) dan Jenis Magma Pada Kompleks Batuan Granitis



Grafik 1
Karakteristik Grafik Batang Kandungan Aluminium Pada Sampel Batuan

KESIMPULAN

Kesimpulan yang dapat ditarik dari hasil penelitian ini adalah sebagai berikut:

1. Jenis batuan granitis di daerah penelitian adalah *Granodiorite*, *Monzogranite* dan *Syenogranite*.
2. Kadar Aluminium (Al) pada batuan Granitis menurut jenis batuannya adalah Al *Granodiorite* 0,03 - 0,07%, Al *syenogranite* 0,06 dan Al *Monzogranite* sebesar 0,02 - 0,6%
3. Jenis Magma berkembang daerah penelitian yaitu *Peraluminous* dan *Metaluminous*. Kandungan Al_2O_3 magma *Peraluminous* lebih besar dibandingkan jenis magma *Metaluminous*
4. Jebakan Aluminium di daerah penelitian masih belum ditemukan pada batuan granitis. Keterdapatannya kandungan Al pada batuan granitis mendukung bahwa magma *peraluminous* berkemungkinan memiliki potensi membentuk jebakan Al

Saran yang dapat diberikan antara lain:

1. Dari pertimbangan kandungan Al pada batuan granitis yang meningkat ke arah Timur, maka studi identifikasi di daerah sekitar menarik dilakukan terutama daerah sebelah timur Desa Harakit.
2. Studi identifikasi Al di daerah penelitian dapat dilanjutkan ke tahap eksplorasi pendahuluan.

DAFTAR PUSTAKA

- [1] Asmuni. Drs. 2001. *Karakterisasi Pasir Kuarsa (SiO_2) dengan Metode XRD*. Fakultas Matematika dan Ilmu Pengetahuan Alam Universitas. Sumatera Utara
- [2] Gill, Robin. 2010. *Igneous Rock and Processes: A Practical Guide*. Departement of earth Science Royal Holloway:University of London. Inggris.
- [3] Heryanto, R dan P. Sanyoto. 1981. *Peta Geologi Lembar Amuntai, Kalimantan*. Pusat penelitian dan Pengembangan Geologi. Bandung.
- [4] Heryanto, R dan N.Sikumbang. 1981. *Peta Geologi Lembar Banjarmasin*, Kalimantan. Pusat penelitian dan Pengembangan Geologi. Bandung.
- [5] Satyana, A.H. 1994. *On the Origin of the Meratus uplift, Southeast Kalimantan- Tectonic and Gravity Constraints: A model for Exhumation of Collisional Orogen in Indonesia*. Indonesia Assosiation of geologists. Jakarta.
- [6] Shackley, M.S. 2011. *Chapter 2 An Introduction to X-Ray Fluorescence (XRF) Analysis in Archaeology*. University California.USA

